

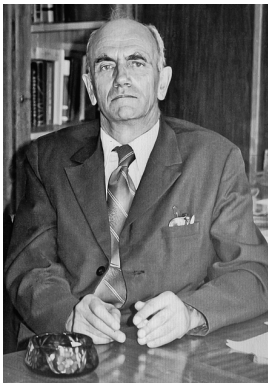
# Адиабатические флуктуации давления в турбулентном потоке

В.П.Юшков, Г.А.Курбатов

*Физический факультет МГУ*

yushkov@phys.msu.ru

## Историческая справка



“Вопрос о пульсациях давления в турбулентном потоке, по-видимому, связан с проблемой взаимодействия звукового поля и турбулентности, однако с точки зрения акустики турбулентного потока представляет интерес не только пространственная структура, но и временной спектр турбулентных пульсаций давления”

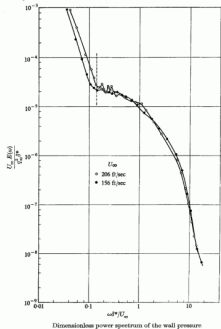
**Обухов А.М.** *Пульсации давления в турбулентном потоке.*  
Доклады АН СССР, 1949, **66**, № 1, 17–20.

Представлено академиком А.Н.Колмогоровым

# Спектр флуктуаций давления "на стенке"

## Measurements of the fluctuating pressure at the wall beneath a thick turbulent boundary layer

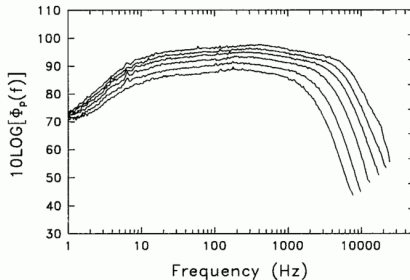
By W. W. WILLMARTH AND C. E. WOOLDRIDGE



## Spectral features of wall pressure fluctuations beneath turbulent boundary layers

Theodore M. Farabee and Mario J. Casarella

Physics of Fluids A: Fluid Dynamics (1989-1993) 3, 2410 (1991); doi: 10.1063/1.858179

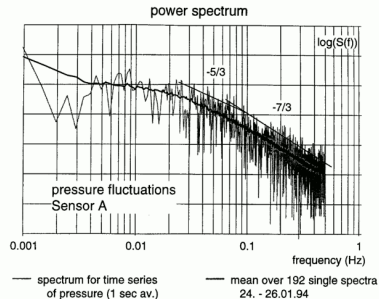


Wall pressure frequency spectra in dB *re:*  $1 \mu\text{Pa}^2/\text{Hz}$  for 12, 15, 18, 21, 24, and 27 m/sec.

JOURNAL OF ATMOSPHERIC AND OCEANIC TECHNOLOGY

## A Ground-Based Network for Atmospheric Pressure Fluctuations

T. HAUF AND U. FINKE J. NEISSER G. BULL J.-G. STANGENBERG



## PRESSURE FLUCTUATIONS IN ISOTROPIC TURBULENCE

BY G. K. BATCHELOR

*Received 1 July 1950*

$$\frac{\partial u_i}{\partial t} + u_j \frac{\partial u_i}{\partial x_j} = -\frac{1}{\rho} \frac{\partial p}{\partial x_i} + \nu \nabla^2 u_i, \quad (2.1)$$

$$\frac{\partial u_i}{\partial x_i} = 0, \quad (2.2)$$

$$\frac{1}{\rho} \nabla^2 p = -\frac{\partial^2 u_i u_j}{\partial x_i \partial x_j}, \quad (2.3)$$

$$\frac{1}{\rho} p(\mathbf{x}) = \frac{1}{4\pi} \int \frac{\partial^2 u'_i u'_j}{\partial x'_i \partial x'_j} \frac{d\tau(\mathbf{x}')}{|\mathbf{x} - \mathbf{x}'|}, \quad (2.4)$$

# Адиабатические и турбулентные флуктуации давления

$$\frac{d\rho}{dt} = 0 \quad : \quad \operatorname{div} \mathbf{V} = 0 \quad (\text{Колмогоровская турбулентность})$$

$$\frac{T'}{T} + \frac{\rho'}{\bar{\rho}} = 0 = \frac{p'}{\bar{p}} \quad : \quad \delta = \frac{\sigma_p}{\bar{\rho} R_\mu \sigma_T} \ll 1 \quad (\text{приближение Буссинеска})$$

$$\frac{dS}{dt} = 0 \quad : \quad p_a = c_s^2 \rho_a \sim \bar{\rho} \sigma_a c_s \sim p_t \sim \bar{\rho} E_T \quad : \quad \frac{dU}{dt} = -\frac{p}{\rho} \operatorname{div} \mathbf{V}$$

$$\frac{C_p}{C_v} R_\mu T = (\bar{c}_s + c'_s)^2 = \bar{c}_s^2 + 2c'_s \bar{c}_s + c_s'^2 \quad : \quad \sigma_c^2 = 0.1 \frac{C_p}{T} \sigma_T^2$$

$$\frac{C}{T} \int \frac{1}{2} \rho T'^2 dV = \mu \int \rho c_s'^2 dV \quad (\text{“свободная энергия”, Обухов, 1949})$$

# Влияние ветровых фильтров на измерение спектра

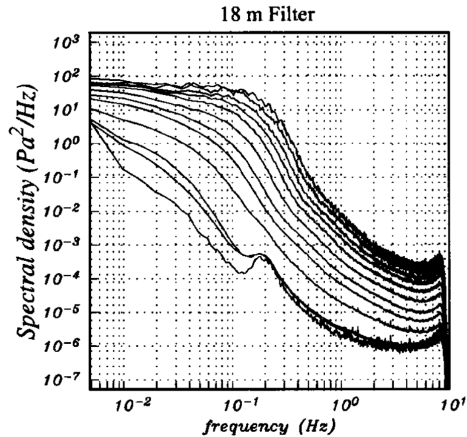
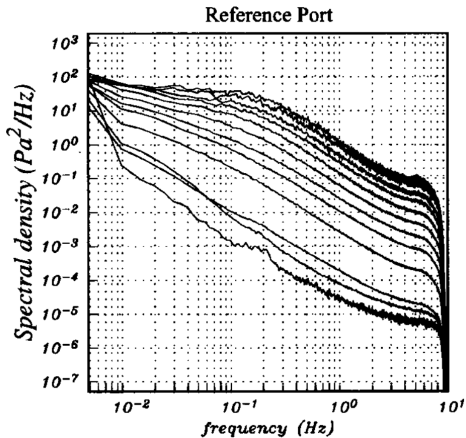
## Evaluation of rosette infrasonic noise-reducing spatial filters

Article in The Journal of the Acoustical Society of America · November 2003 DOI: 10.1121/1.1603763 · Source: PubMed

Michael A. H. Hedlin

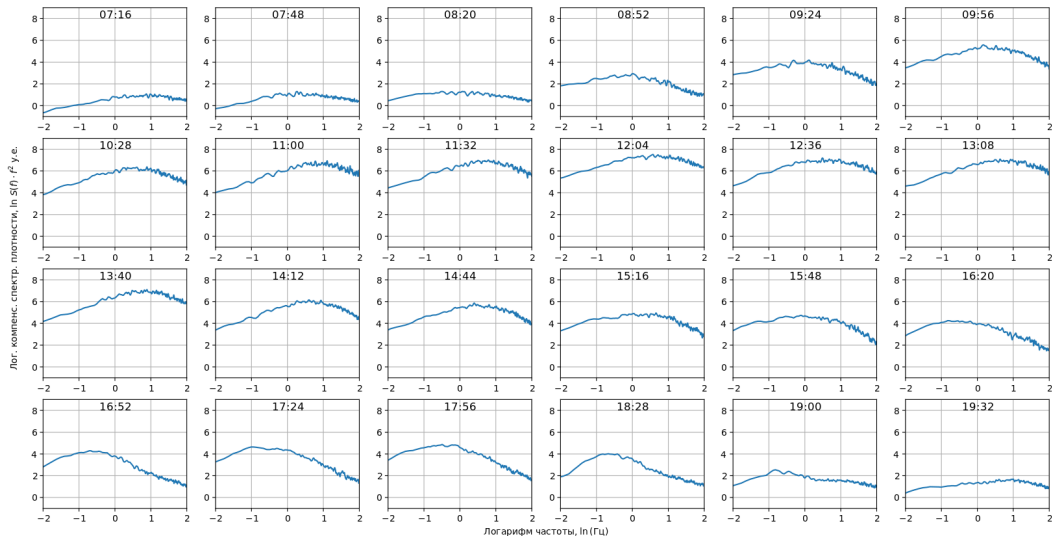
Benoit Alcoverro

Gerald D'Spain

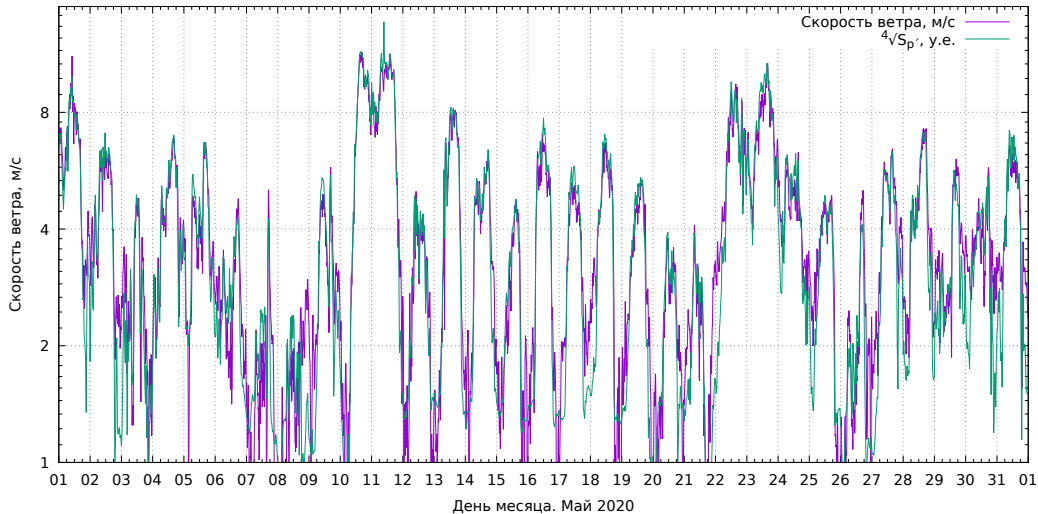


# Шаджатмас, 21 августа 2024г. Микрофон В&К 4147

Дата: 21/08/24



# Сопоставление флуктуаций давления и скорости ветра



# Спектр адиабатических флуктуаций

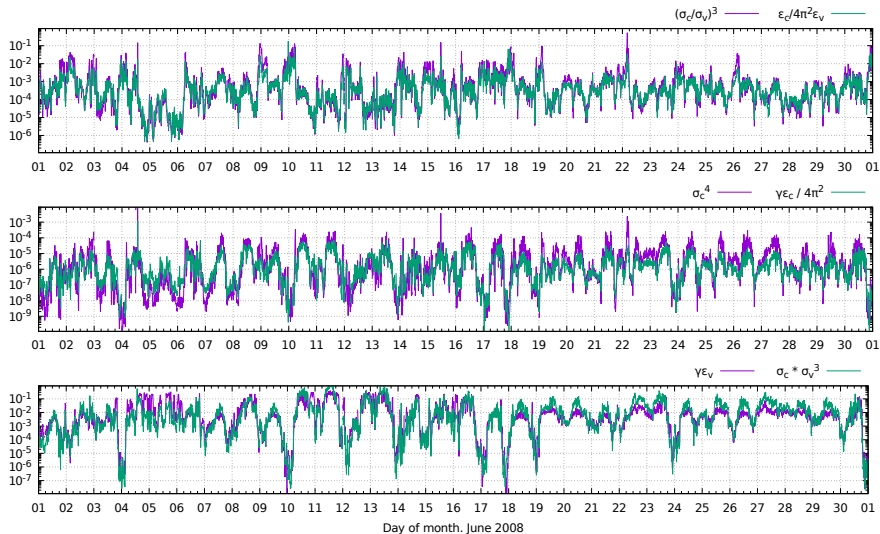
$$\frac{dS}{dt} = \gamma \Delta S + \dot{Q}/T \quad : \quad \gamma \gg \eta = \left(\frac{4}{3}\nu + \xi\right) + \left(\frac{C_P}{C_V} - 1\right)\chi$$

$$\gamma \sigma_{\dot{\rho}} \sim \sigma_{p_a}^2 / \bar{\rho} = \frac{\bar{\rho}}{z} \int_0^{\infty} \frac{\gamma^2 \omega d\omega}{e^{\gamma\omega/E_n^P} - 1}$$

$$\sum_n P_n E_n^P = \bar{E}_T$$

$$\langle \rho' \varepsilon'_V \rangle = \bar{\rho} \varepsilon_a \quad : \quad \varepsilon'_V = \varepsilon_V^+ - \varepsilon_V^- \sim \varepsilon_c \quad : \quad \varepsilon_c / \varepsilon_V \leq 1$$

# Взаимосвязь флуктуаций температуры и скорости ветра в АПС



# Взаимосвязь флуктуаций температуры и энергии турбулентности

$$\frac{\varepsilon_c}{\varepsilon_v} = 4\pi^2 \frac{\sigma_c^3}{\sigma_v^3}$$

$$L_c = \frac{2\pi}{\kappa_c} = L = \frac{\sigma_v^3}{2\pi\varepsilon_v} \quad \text{тогда} \quad \varepsilon_c = \kappa_c \sigma_c^3$$

$$\hat{\gamma}\varepsilon_v = \sigma_c \sigma_v^3 \quad \text{или} \quad \hat{\gamma}\varepsilon_c = 4\pi^2 \sigma_c^4$$

$$\hat{\gamma}\varepsilon_c = E_a E_T \quad , \quad \text{где} \quad \hat{\gamma} = 2\pi\gamma$$

# Масштабы адиабатических и вихревых флуктуаций

$$L_a = c_s \tau_a = L_c = 2r_v = L$$

$$\int_0^{\infty} \varepsilon_c(z) dz = \frac{1}{L_c} \int_0^{\infty} \sigma_c^3 dz \quad : \quad \omega_v = \sigma_v / r_v$$

$$\tau_v = E_T / \varepsilon_v = 2\pi / \omega_v \quad > \quad \tau_a = E_a / \varepsilon_a$$

- 1 Адиабатические флуктуации широкого спектра играют ключевую роль в переносе энергии от кинетической к потенциальной и тепловой компоненте (флуктуациям давления)
- 2 Эти флуктуации характеризуют неопределённость, внутренне присущую движению лагранжевых частиц и могут быть описаны случайным членом в уравнении движения
- 3 Гамильтониан адиабатического шума связывает энергию вихревых флуктуаций с шириной их спектра